

Рис. 4. Ток ионизации в момент воспламенения (обозначения см. на рис. 3).

Как отмечалось в [8], цепочно-тепловой взрыв встречается обычно в системах с вырожденно-разветвленными цепными реакциями (к которым относятся реакции окисления углеводородных горючих типа керосина), когда слабый механизм разветвления не в состоянии сам по себе привести к ускорению. В [8] отмечается, что при вырожденно-разветвленном механизме реакций воспламенение возможно только при достижении таких скоростей реакции и тепловыделения, при которых па цепное ускорение накладывается тепловой саморазогрев, приводящий к взрыву.

Для инициирования автокаталитической реакции необходимо каким-либо посторонним источником обеспечить образование некоторой начальной концентрации промежуточного компонента. Скорость автокаталитической реакции записывают в виде суммы [8]:

$$w = w_1 + w_2 = k_1(a - n)n \exp(-E/RT) + k_2(a, n) \exp(-E_f/RT),$$

где  $k_1, k_2$  — константы;  $a, n$  — концентрации исходного вещества и промотора.

Вторая реакция служит источником образования промежуточного компонента, обеспечивающего начальную скорость первой реакции. В данном случае функцию второй выполняет реакция догорания в продуктах сгорания газогенератора. На рис. 4 приведены значения тока ионизации  $I$  в продуктах сгорания в зоне организации второй стадии горения в момент воспламенения. Несмотря на значительный разброс точек, видно, что в момент воспламенения ток ионизации, а следовательно, и скорость реакции догорания  $w_2$  — величины постоянные, откуда следует, что необходимая для воспламенения начальная критическая скорость химической реакции обеспечивается реакциями догорания.

Авторы благодарят за участие в обсуждении результатов и ценные замечания В. Р. Кузнецова.

Поступила в редакцию 13/V 1983

#### ЛИТЕРАТУРА

1. В. Н. Груздев, М. Д. Тавгер, А. В. Талантов. ФГВ, 1979, 15, 4, 84.
2. В. Н. Груздев, М. Д. Тавгер.— В кн.: Горение в потоке. Вып. 2. Казань, 1978.
3. В. Н. Груздев, И. А. Малишевская, А. В. Талантов. ФГВ, 1978, 14, 2, 170.
4. И. И. Власов и др.— В кн.: Струйная техника. М.: Наука, 1976.
5. Е. Е. Khalil. J. of Engineering for Industry, 1978, 100, 5, 210.
6. Л. А. Вулис.— В кн.: III Всесоюз. совещ. по теории горения. М.: Изд-во АН СССР, 1960.
7. Н. Н. Семенов. О некоторых проблемах химической кинетики и реакционной способности. М.: Изд-во АН СССР, 1958.
8. А. С. Соколик. Самовоспламенение, пламя и детонация в газах. М.: Изд-во АН СССР, 1960.
9. Г. С. Аравин, Е. С. Семенов. ФГВ, 1979, 15, 5, 40.
10. В. В. Азатян, В. Т. Гонтковская, А. Г. Мержанов. ФГВ, 1973, 9, 2, 163.

#### ТЕОРИЯ ПИРОЛИЗА КОМПОЗИЦИОННЫХ ПОЛИМЕРНЫХ МАТЕРИАЛОВ

*A. M. Гришин, С. П. Синицын*

(Томск)

При математическом моделировании процесса горения композиционных полимерных материалов (КПМ) необходимо учитывать пиролиз материала, так как в результате пиролиза изменяется структура материала,

его теплофизические свойства и выделяются газообразные горючие продукты пиролиза. Поскольку, как правило, диапазон изменения температуры в процессе нагревания ограничен, то наполнитель остается инертным, и при пиролизе композиционных материалов происходит разложение только полимерного связующего<sup>1</sup>. Поэтому пиролиз КПМ можно исследовать, изучая разложение соответствующих полимеров. Этому вопросу в настоящее время посвящено довольно большое число работ, нашедших отражение в монографиях [1, 2].

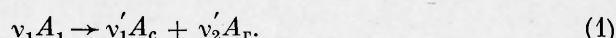
Анализ этих работ показывает, что получить истинную кинетическую схему процесса пиролиза в ближайшее время практически невозможно. Если следовать универсальному последовательному анализу, предлагаемому в [3], то огромные трудности встречаются уже на первой стадии исследования, включающей в себя определение списка компонентов и максимального механизма процесса. Например, по результатам работы [4] идентифицировано 19 компонентов в продуктах пиролиза полiaminoimidного связующего, что составляет только 66,2% от общего количества продуктов. Для полипропилена, согласно [5], список компонентов в продуктах пиролиза включает 21 наименование. Причем и в [4], и в [5] условия проведения эксперимента были весьма ограниченными, поэтому приведенные списки компонентов нельзя считать полными. С другой стороны, для ряда практически важных задач требуется знание только некоторых итоговых характеристик пиролиза, например, при решении задачи о газофазном горении КПМ — скорость образования горючих газообразных продуктов пиролиза, тепловой эффект пиролиза и скорость убыли массы образца. Необходимо поэтому использовать упрощенные кинетические схемы с эффективными кинетическими постоянными, в достаточной степени качественно верно описывающими процесс пиролиза КПМ.

В данной работе на основе упрощенных кинетических схем и представлений механики реагирующих сред строится математическая теория пиролиза КПМ, формулируются прямая и обратная задачи пиролиза. Проводится анализ прямой и обратной задачи в изотермических либо гомотермических условиях для одно- и двухстадийной кинетики разложения связующего. Предлагается методика решения обратных задач, апробированная на модельных примерах. Исследовано влияние погрешности экспериментальных данных на решения обратных задач.

#### Формулировка прямой задачи пиролиза для одностадийной реакции

Наиболее важным с точки зрения построения упрощенных схем пиролиза представляется подразделение всех полимеров на две группы. Согласно [1, 2], одни полимеры разлагаются в результате нагревания до мономеров (полиметилметакрилат, политетрафторэтилен, поли- $\alpha$ -метилстирол), другие дают при разложении множество промежуточных продуктов, молекулярная масса которых больше массы мономера, но меньше молекулярной массы полимера, причем в конденсированных продуктах пиролиза возможно протекание реакций структурирования.

Рассмотрим вначале случай, когда процесс пиролиза проходит в одну стадию:



Здесь  $v_1$ ,  $v'_1$ ,  $v'_2$  — стехиометрические коэффициенты, а  $A_1$ ,  $A_c$ ,  $A_r$  — символы исходного вещества, конденсированных и газообразных продуктов пиролиза.

Одностадийная схема пиролиза (1) более пригодна, по-видимому, для описания пиролиза КПМ, где в качестве связующего используются по-

<sup>1</sup> В качестве наполнителей КПМ обычно используют значительно более термостойкие вещества (стекловолокно, асбест, песок, мел, графит и т. д.), чем полимерное связующее.

лимеры первой группы, поскольку в рамках этой схемы процесса не предусматривается возможности структурирования в конденсированной фазе. Математически такая схема пиролиза КПМ описывается дифференциальными уравнениями

$$\rho_1 \frac{\partial \varphi_1}{\partial t} = -k_0 (\rho_1 \varphi_1)^n \exp(-E_{\pi}/RT), \quad (2)$$

$$\rho_2 \frac{\partial \varphi_2}{\partial t} = \Gamma k_0 (\rho_1 \varphi_1)^n \exp(-E_{\pi}/RT), \quad (3)$$

$$\varphi_4 = \varphi_{4H} = \text{const.} \quad (4)$$

Здесь и далее  $\varphi_1, \varphi_2, \varphi_3, \varphi_4$  — объемные доли исходного полимерного связующего, конденсированных и газообразных продуктов пиролиза и инертного наполнителя;  $\rho_1, \rho_2$  — истинные плотности;  $k_0, E_{\pi}, n, \Gamma$  — предэкспонент, энергия активации, порядок реакции и приведенный стехиометрический коэффициент.

Уравнения (2)–(4) записаны в предположении, что кинетика относится к классу простых [3] и реакция следует закону Аррениуса. Уравнение неразрывности для газовой фазы в этом случае имеет вид

$$\frac{\partial}{\partial t} (\rho \varphi_3) + \text{div}(\rho \varphi_3 \vec{v}) = (1 - \Gamma) (\rho_1 \varphi_1)^n k_0 \exp(-E_{\pi}/RT), \quad (5)$$

где  $\rho$  — плотность газовой фазы;  $\vec{v}$  — скорость фильтрации. При записи (5) предполагается, что разложение образца происходит в вакуумной камере или в атмосфере инертного газа, поэтому газообразование обусловлено только реакцией пиролиза. Интегрируя (5) по объему, занимаемому образцом, получаем после простых преобразований следующее выражение для убыли массы образца:

$$-\frac{1}{gV} \frac{dP}{dt} = -\frac{d}{dt} (\overline{\rho \varphi_3}) + (1 - \Gamma) \overline{(\rho_1 \varphi_1)^n k_0 \exp(-E_{\pi}/RT)}, \quad (6)$$

где  $g$  — ускорение свободного падения;  $V$  — объем образца;  $\overline{\rho \varphi_3}, \overline{\varphi_1}, \overline{T}$  — средние значения по объему. Наконец, интегрируя (6) по времени, окончательно получим

$$\frac{P_{\pi} - P}{gV} = [(\overline{\rho \varphi_3})_H - (\overline{\rho \varphi_3})] + (1 - \Gamma) k_0 \int_0^t \overline{(\rho_1 \varphi_1)^n \exp(-E_{\pi}/RT)} dt, \quad (7)$$

где индекс  $H$  приписывается начальным условиям.

Подставляя в (7) осредненное выражение (2), имеем

$$\frac{P_{\pi} - P}{gV} = [(\overline{\rho \varphi_3})_H - (\overline{\rho \varphi_3})] + (1 - \Gamma) \rho_1 (\overline{\varphi_{1H}} - \overline{\varphi_1}). \quad (8)$$

Первый член в правой части (8) мал (массовое содержание газовой фазы в образце) по сравнению со вторым и с хорошей степенью точности можно записать

$$\frac{P_{\pi} - P}{gV} = (1 - \Gamma) \rho_1 (\overline{\varphi_{1H}} - \overline{\varphi_1}), \quad (9)$$

откуда

$$\Gamma = 1 - (P_{\pi} - P_H)/(\rho_1 \varphi_{1H} gV), \quad (10)$$

где индекс  $K$  относится к предельному значению массы образца при полном разложении связующего. Таким образом,  $\Gamma$  — аналог коксового числа для коксующихся полимерных материалов.

Под прямой задачей математической теории пиролиза КПМ понимается задача определения состава КПМ ( $\varphi_i$ ), температуры  $T(t, x, y, z)$ , выхода летучих ( $\rho \varphi_3 v_w$ ) и состава летучих продуктов пиролиза по известным термохимическим постоянным (индекс  $w$  соответствует значению скорости фильтрации на межфазной границе газ — твердое тело).

При этом ясно, что система уравнений (2)–(5) не является замкнутой и для решения прямой задачи ее необходимо дополнить уравнениями сохранения энергии, состояния и диффузии в газовой фазе, законом движения продуктов пиролиза и соответствующими начальными и граничными условиями [6].

### Постановка и аналитическое решение обратной задачи пиролиза для одностадийной реакции разложения

Под обратной кинетической задачей понимается определение кинетических констант  $k_0$  и  $E_\pi$  по известному решению (одному или многим) прямой задачи. Обычно это решение получают обработкой экспериментальных данных (прямой задачи).

Задача экспериментального определения с достаточной точностью полей температуры внутри образца КПМ и других характеристик процесса пиролиза сложна по техническим причинам, если в образце образуется узкая подвижная зона пиролиза с большим градиентом температуры. Более удобными для решения обратной кинетической задачи представляются данные эксперимента, когда внутри образца отсутствуют градиенты температуры (температура одинакова во всех точках образца и зависит только от времени). Согласно [6, 7], для реализации такой ситуации необходимо, чтобы характерные времена процессов переноса были значительно меньше характерного времени пиролиза:

$$\begin{aligned} t_e &= \frac{r_0^2}{a} \ll t_\pi, \quad t_D = \frac{r_0^2}{D} \ll t_\pi, \quad t_\Phi = \frac{r_0}{u_*} \ll t_\pi, \\ t_\pi &= \ln 2 \cdot \exp(E_\pi/RT_*)/k_0. \end{aligned} \quad (11)$$

Здесь  $t_e$ ,  $t_D$ ,  $t_\Phi$ ,  $t_\pi$  — характерные времена теплопроводности, диффузии, фильтрации и пиролиза;  $a$  — коэффициент температуропроводности;  $D$  — эффективный коэффициент диффузии;  $u_*$  — характерная скорость фильтрации;  $T_*$  — характерная температура;  $r_0$  — характерный размер образца. Под характерным временем пиролиза понимается время, в течение которого количество полимерного связующего, нагретого до  $T_*$ , уменьшится вдвое при условии, что реакция пиролиза имеет первый порядок.

При выполнении (11) скорость возникновения неоднородностей полей температур и концентраций вследствие реакции пиролиза будет значительно меньше скорости выравнивания этих неоднородностей вследствие процессов переноса. Вместе с тем, для того чтобы результаты эксперимента допускали физическую интерпретацию и математическую обработку, необходимо, чтобы при проведении экспериментов соблюдались условия

$$\begin{aligned} t_0 &\gg t_e, \quad t_0 \gg t_D, \quad t_0 \gg t_\Phi, \quad t_0 \gg t_\pi, \\ t_0 &= (T_k - T_\pi)/k, \end{aligned} \quad (12)$$

где  $t_0$  — минимальное время выдержки образца в нагревательном устройстве;  $k$  — темп нагрева;  $T_k$  — конечная температура, приобретаемая образцом;  $T_\pi$  — начальная температура образца ( $T_\pi < T_* < T_k$ ).

Очевидно, что условия (11), (12) выполняются тем точнее, чем меньше масса образца (характерный размер) и чем меньше при прочих равных условиях темп нагрева. Таким образом, ограничения на темп нагрева и размер образца, которые обычно накладывают при проведении термографического и термогравиметрического эксперимента [8], получают простое физическое истолкование.

При выполнении условий (11), (12) для реакции первого порядка при известной зависимости  $T(t)$  обратная задача сводится к определению  $E_\pi$  и  $k_0$  из уравнения

$$\frac{dP}{dt} = -(P - P_\pi) k_0 \exp(-E_\pi/RT), \quad (13)$$

где  $P$  — масса образца;  $P_k$  — масса образца с окончательно разложившимся связующим.

Для определения  $k_0$  и  $E_n$  из (13) можно использовать методику, предложенную в [6, 9] и основанную на минимизации невязки:

$$\delta = \int_{t_H}^{t_K} \{ \Phi(t) - \ln k_0 + E_n/[RT(t)] \}^2 dt, \quad \Phi(t) = \ln \left[ -\frac{dP}{dt}/(P - P_k) \right]. \quad (14)$$

Здесь  $T(t)$  и  $\Phi(t)$  — функции, определяемые по результатам эксперимента;  $t_H$ ,  $t_K$  — время начала и конца кинетического эксперимента. Неизвестные  $\ln k_0$  и  $E_n/R$  определяются из условия минимума функции  $\delta(\ln k_0, E_n/R)$ . Используя необходимые условия экстремума, получим систему двух линейных уравнений, решая которую, находим

$$\ln k_0 = \Delta_1/\Delta, \quad E_n/R = \Delta_2/\Delta, \quad (15)$$

где

$$\begin{aligned} \Delta &= I_2^2 - I_1 I_3; \quad \Delta_1 = I_2 I_5 - I_3 I_4; \quad \Delta_2 = I_1 I_5 - I_2 I_4; \\ I_1 &= t_K - t_H; \quad I_2 = \int_{t_H}^{t_K} T(t)^{-1} dt; \quad I_3 = \int_{t_H}^{t_K} T(t)^{-2} dt; \\ I_4 &= \int_{t_H}^{t_K} \Phi(t) dt; \quad I_5 = \int_{t_H}^{t_K} \Phi(t) T(t)^{-1} dt. \end{aligned}$$

Аналогично [6] можно доказать, что решение существует и единственno при  $T(t) \neq \text{const}$ .

Не представляет принципиальных трудностей обобщение методики для одной реакции произвольного (отличного от первого) порядка. Вместо (13) в этом случае получаем уравнение

$$\frac{dP}{dt} = -[\rho_1(1-\Gamma)gV]^{1-n}(P - P_k)^n k_0 \exp\left(-\frac{E_n}{RT}\right),$$

а для невязки (среднеквадратичного отклонения)

$$\delta = \int_{t_H}^{t_K} \left[ \Phi(t) - \ln k_0 + \frac{E_n}{Rt} - (n-1) \ln \frac{P - P_k}{\rho_1 g V (1-\Gamma)} \right]^2 dt,$$

где  $\Phi(t)$  — такая же функция, как и в (14). Как и в [6], легко получить явные формулы для определения предэкспонента, энергии активации и порядка реакции и доказать существование и единственность решения:

$$\ln k_0 = \Delta_1/\Delta, \quad n = 1 + \Delta_2/\Delta, \quad E_n/R = \Delta_3/\Delta.$$

$\Delta$  — определитель матрицы  $\{a_{ij}\}$  с  $i, j = \overline{1, 3}$ , причем

$$\begin{aligned} a_{11} &= t_K - t_H, \quad a_{12} = a_{21} = \int_{t_H}^{t_K} \ln \frac{P - P_k}{\rho_1 g V (1-\Gamma)} dt, \\ a_{13} = a_{31} &= - \int_{t_H}^{t_K} T(t)^{-1} dt, \quad a_{22} = \int_{t_H}^{t_K} \ln^2 \frac{P - P_k}{\rho_1 g V (1-\Gamma)} dt, \\ a_{23} = a_{32} &= - \int_{t_H}^{t_K} T(t)^{-1} \ln \frac{P - P_k}{\rho_1 g V (1-\Gamma)} dt, \quad a_{33} = \int_{t_H}^{t_K} T(t)^{-2} dt, \\ b_1 &= \int_{t_H}^{t_K} \Phi(t) dt, \quad b_2 = \int_{t_H}^{t_K} \Phi(t) \ln \frac{P - P_k}{\rho_1 g V (1-\Gamma)} dt, \quad b_3 = - \int_{t_H}^{t_K} \frac{\Phi(t)}{T(t)} dt. \end{aligned}$$

Выражения для определителей  $\Delta_1$ ,  $\Delta_2$ ,  $\Delta_3$  получаются заменой столбцов в  $\{a_{ij}\}$  на столбец  $b_i$ .

Метод решения обратной задачи аналогичен приему (методу невязки), предложенному в [8], и подробно описан в [6] для определения термокинетических постоянных гетерогенных реакций. Этот прием напоминает известный метод наименьших квадратов [10] для решения дифференциальных уравнений. Отличие заключается лишь в том, что в методе наименьших квадратов параметры, подлежащие определению в ходе решения задачи, вводятся в функционал в результате выбора приближения к решению, а в данном случае эти параметры ( $k_0$ ,  $E_n$ ) уже присутствуют в самом уравнении химической кинетики, тогда как приближенное решение, получаемое из физического эксперимента, не содержит неизвестных параметров.

### Примеры определения термокинетических постоянных одностадийной реакции разложения

Для проверки изложенной методики решена прямая задача в соответствии с (13) с кинетическими константами  $k_0 = 10^6 \text{ с}^{-1}$ ,  $E_n/R = 10^4 \text{ К}$  и различными темпами нагрева. Типичные зависимости  $T(t)$  и  $P(t)$  приведены на рис. 1. Результаты решения прямой задачи использовались для восстановления кинетических постоянных по формулам (15). Наибольшую погрешность в определении  $k_0$  и  $E_n/R$  вносит дифференцирование «экспериментально определенной» убыли массы  $P(t)$ . Так, при вычислении  $\frac{dP}{dt}$  с шагом  $\Delta t = 1 \text{ с}$  слева либо справа относительная погрешность  $\epsilon$  определения величины  $E_n/R$  составляет 25%, а при  $\Delta t = 0,5 \text{ с}$   $\epsilon = 15\%$ . Применение же центральной разности и сплайн-аппроксимации исходных данных позволило при  $\Delta t = 0,5 \text{ с}$  уменьшить  $\epsilon$  до 1,4% для  $E_n/R$  и до 18% для  $k_0$ .

Таким образом, результаты проведенных расчетов убеждают в возможности практического использования предложенной методики, основные достоинства которой заключаются в простоте, возможности получить доказательства существования и единственности решения и нахождении аналитического решения обратной кинетической задачи. К недостаткам методики следует отнести необходимость дифференцирования экспериментальных данных. Однако эту трудность легко преодолеть путем использования сплайнов, которые, как известно [11], аппроксимируют не только интерполируемую функцию, но и ее производную.

### Постановка прямой кинетической задачи для двухстадийной схемы пиролиза

Одностадийная схема пиролиза не учитывает образование в ходе термического разложения промежуточных продуктов, поэтому с ее помощью нельзя описать и объяснить структурирование материала и экзоэффект, присущий материалам второй группы. Вместе с тем в работе [4] предложена двухстадийная кинетическая схема вида

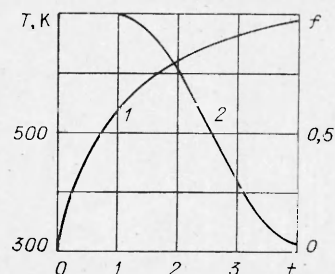
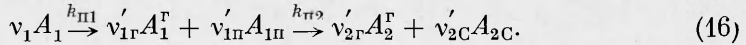


Рис. 1. Типичные зависимости  $T(t)$  (1) и  $f(t) = \frac{P - P_k}{P_n - P_k}$  (2) при одностадийной схеме пиролиза в гомотермических условиях.



Здесь  $A_1, A_1^r, A_{1n}, A_2^r, A_{2c}$  — символы исходного полимерного связующего, газообразных продуктов первой реакции, конденсированного продукта первой реакции (пирозоля), газообразных продуктов второй реакции и кокса соответственно;  $v_1, v_{1r}, v_{1n}, v_{2r}, v_{2c}$  — соответствующие стехиометрические коэффициенты;  $k_{11}$  и  $k_{1n2}$  — константы скоростей первой и второй стадий.

Согласно [4], считаем, что первая стадия процесса является эндо-термической реакцией разложения первого порядка, а вторая — реакция синтеза радикалов, образовавшихся на первой стадии. Последняя реакция является экзотермической. Для материалов второй группы, у которых коксовое число является функцией процесса в качестве продукта первой стадии, необходимо, как и в [4], выделить коксовый остаток и полагать, что вторая стадия представляет совокупность параллельных реакций с кинетической схемой, подобной описанной в предыдущем разделе. Для выделения особенностей, присущих именно двухстадийной схеме, ограничимся рассмотрением кинетической схемы (16). Используя ее, получаем следующие уравнения для сохранения массы исходного связующего, пирозоля кокса, инертного наполнителя и газовой фазы:

$$\rho_1 \frac{\partial \varphi_1}{\partial t} = -\rho_1 \varphi_1 k_{0n}^{(1)} \exp\left(-\frac{E_n^{(1)}}{RT}\right), \quad (17)$$

$$\rho_2 \frac{\partial \varphi_2}{\partial t} = \alpha_1 \rho_1 \varphi_1 k_{0n}^{(1)} \exp\left(-\frac{E_n^{(1)}}{RT}\right) - (\rho_2 \varphi_2)^n k_{0n}^{(2)} \exp\left(-\frac{E_n^{(2)}}{RT}\right), \quad (18)$$

$$\rho_3 \frac{\partial \varphi_3}{\partial t} = \alpha_2 (\rho_2 \varphi_2)^n k_{0n}^{(2)} \exp\left(-\frac{E_n^{(2)}}{RT}\right), \quad \varphi_4 = \varphi_{4n} = \text{const}, \quad (19)$$

$$\begin{aligned} \frac{\partial}{\partial t} (\rho \varphi_5) + \text{div}(\rho \varphi_5 \vec{v}) &= (1 - \alpha_1) \rho_1 \varphi_1 k_{0n}^{(1)} \exp\left(-\frac{E_n^{(1)}}{RT}\right) + \\ &+ (1 - \alpha_2) (\rho_2 \varphi_2)^n k_{0n}^{(2)} \exp\left(-\frac{E_n^{(2)}}{RT}\right). \end{aligned} \quad (20)$$

Здесь  $\alpha_1 = \frac{v'_{1n} M_n}{v_1 M_{1s}}$ ,  $\alpha_2 = \frac{v'_{2c} M_c}{v'_{1n} M_n}$  — приведенные стехиометрические числа;  $M_{1s}$ ,  $M_n$ ,  $M_c$  — молекулярные массы исходного полимерного связующего, пирозоля и кокса;  $n$  — порядок второй реакции;  $k_{0n}^{(1)}$ ,  $E_n^{(1)}$ ,  $k_{0n}^{(2)}$ ,  $E_n^{(2)}$  — предэкспоненты и энергии активации первой и второй реакций соответственно.

### Постановка обратной задачи при двухстадийной кинетике

Обратная кинетическая задача для (17)–(20) формулируется следующим образом: известно поле температур и масса образца в любой момент времени, требуется определить термокинетические постоянные  $k_{0n}^{(1)}$ ,  $E_n^{(1)}$ ,  $k_{0n}^{(2)}$ ,  $E_n^{(2)}$ ,  $n$ ,  $\alpha_1$ ,  $\alpha_2$ .

Система уравнений (17)–(20) имеет алгебраический интеграл

$$\rho_3 \varphi_3 + \alpha_2 \rho_2 \varphi_2 + \alpha_1 \alpha_2 \rho_1 (\varphi_1 - \varphi_{1n}) = 0, \quad (21)$$

позволяющий совершить предельный переход при  $t \rightarrow \infty$ . В результате получим соотношение

$$\alpha_1 \alpha_2 = \frac{\rho_3 \varphi_{3k}}{\rho_1 \varphi_{1n}}, \quad (22)$$

где  $\rho_3 \varphi_{3k}$  — масса коксового остатка, образовавшегося в единице объема из полимерного связующего  $\rho_1 \varphi_{1n}$ , т. е.  $\alpha_1 \alpha_2$  не что иное, как коксовое число для коксующихся материалов.

Будем предполагать, что и в двухстадийной кинетической схеме при проведении эксперимента выполняются условия (10), (11), тогда при  $n = 1$  легко получаем решение прямой задачи (17)–(20)

$$\varphi_1 = \varphi_{1H} \exp \left( - \int_{t_H}^{t_R} k_1 dt \right), \quad (23)$$

$$\varphi_2 = \exp \left( - \int_{t_H}^{t_R} k_2 dt \right) \int_{t_H}^{t_R} \alpha_1 \frac{\rho_1}{\rho_2} \varphi_{1H} k_1 \exp \left[ \int_{t_H}^t (k_2 - k_1) dt \right] dt, \quad (24)$$

$$\varphi_3 = \alpha_1 \alpha_2 \frac{\rho_1}{\rho_3} (\varphi_{1H} - \varphi_1) - \alpha_2 \frac{\rho_2}{\rho_3} \varphi_2, \quad (25)$$

$$\varphi_4 = \varphi_{4H} = \text{const}, \quad \varphi_5 = 1 - \sum_{i=1}^4 \varphi_i. \quad (26)$$

При получении (23)–(26) полагалось, что в начальный момент времени  $\varphi_{2H} = \varphi_{3H} = 0$ ,  $k_1 = k_{0H}^{(1)} \exp(-E_{\pi}^{(1)}/RT)$ ,  $k_2 = k_{0H}^{(2)} \exp(-E_{\pi}^{(2)}/RT)$ . Используя (23)–(26), массу образца в любой момент времени можно вычислить по формуле

$$P = \sum_{i=1}^5 gV\rho_i \varphi_i, \quad (27)$$

а имея экспериментальную зависимость массы образца  $P_e(t)$ , записать квадратичную невязку

$$\delta(k_{0H}^{(1)}, E_{\pi}^{(1)}, k_{0H}^{(2)}, E_{\pi}^{(2)}, \alpha_1, \alpha_2) = \int_{t_H}^{t_R} [P(t) - P_e(t)]^2 dt. \quad (28)$$

Таким образом, задача определения термокинетических постоянных заключается в нахождении минимума функции многих переменных (28).

#### Определение термокинетических постоянных пиролиза с использованием метода «теплового» разбавления

Как видно из (23)–(28), задача является весьма сложной, поскольку, во-первых, количество неизвестных параметров велико (пять) и, во-вторых, на каждом «пробном» шаге по неизвестным параметрам необходимо определить  $\varphi_1$ ,  $\varphi_2$ ,  $\varphi_3$  по формулам (23)–(26). Алгоритм можно существенно упростить, если проводить анализ при изотермических условиях, которые можно реализовать, используя метод «теплового разбавления» [12]. Если  $T = \text{const}$ , то из (22) получаем при  $t_H = 0$

$$\varphi_1 = \varphi_{1H} e^{-k_1 t}, \quad (29)$$

$$\varphi_2 = \alpha_1 \frac{\rho_1}{\rho_2} \varphi_{1H} \begin{cases} k_1 t e^{-k_2 t} & \text{при } k_1 = k_2, \\ \frac{k_1}{k_2 - k_1} (e^{-k_1 t} - e^{-k_2 t}) & \text{при } k_1 \neq k_2. \end{cases} \quad (30)$$

Это дает возможность записать выражение для массы образца

$$P - P_K = (P_H - P_K) \begin{cases} \left[ 1 + \frac{\alpha_1 (1 - \alpha_2)}{1 - \alpha_1 \alpha_2} k t \right] e^{-k t} & \text{при } k_1 = k_2 = k, \\ \left[ A e^{-k_1 t} + B e^{-k_2 t} \right] & \text{при } k_1 \neq k_2, \end{cases} \quad (31)$$

$$\text{где } A = \frac{(1 - \alpha_1 \alpha_2) k_2 - (1 - \alpha_1) k_1}{(1 - \alpha_1 \alpha_2)(k_2 - k_1)}; \quad B = \frac{-\alpha_1 (1 - \alpha_2) k_1}{(1 - \alpha_1 \alpha_2)(k_2 - k_1)}.$$

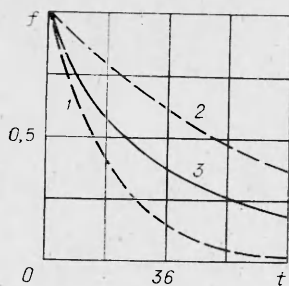


Рис. 2. Первый режим пиролиза при  $\alpha_1 = 0,4$ ,  $\alpha_2 = 0,5$ ,  $k_1 = 0,578 \cdot 10^{-1}$ ,  $k_2 = 0,139 \cdot 10^{-1}$ .

1, 2 — пиролиз по одностадийной схеме с константами  $k_1$ ,  $k_2$ ; 3 — пиролиз по двухстадийной схеме.

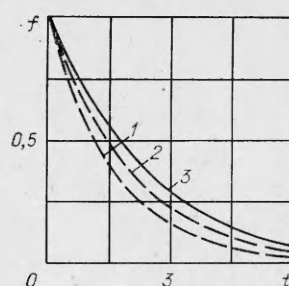


Рис. 3. Второй режим пиролиза при  $\alpha_1 = 0,4$ ,  $\alpha_2 = 0,5$ ,  $k_1 = 0,625$ ,  $k_2 = 0,494$  (обозначения аналогичны рис. 2).

Отметим, что попытка получить дифференциальное уравнение для массы образца приводит к уравнению

$$\frac{dP}{dt} = - (P - P_R) \frac{(1 - \alpha_1) k_1 + (1 - \alpha_2) k_2 \frac{\rho_2 \Phi_2}{\rho_1 \Phi_1}}{(1 - \alpha_1 \alpha_2) + (1 - \alpha_2) \frac{\rho_2 \Phi_2}{\rho_1 \Phi_1}}, \quad (32)$$

из которого следует, что, хотя каждая стадия пиролиза относится к классу простых кинетик [3], общая кинетическая схема для образца из КПМ при двухстадийном пиролизе в этот класс не входит, т. е. константа скорости определяется не только состоянием образца, но является функцией процесса.

Интересно исследовать отличие двухстадийного протекания пиролиза по сравнению с одностадийной кинетической схемой. Анализ (31) показывает, что в зависимости от отношения  $k_1/k_2$  можно выделить четыре характерные области:

1) при  $k_1/k_2 > (1 - \alpha_1 \alpha_2)/(1 - \alpha_1)$  скорость пиролиза выше скорости пиролиза по одностадийной схеме с константой  $k_2$ , но ниже скорости соответствующего процесса с константой  $k_1$ . В начальной стадии скорость определяется в основном первой стадией и с течением времени стремится к скорости второй стадии. Кинетические кривые, соответствующие данному случаю, изображены на рис. 2;

2) при  $1 < k_1/k_2 < (1 - \alpha_1 \alpha_2)/(1 - \alpha_1)$  скорость пиролиза ниже, чем при пиролизе по одностадийной схеме с любой константой скорости ( $k_1$  либо  $k_2$ ) (рис. 3). Причем при  $k_1/k_2 = (1 - \alpha_1 \alpha_2)/(1 - \alpha_1)$  наблюдаемое уменьшение массы образца соответствует одностадийной схеме с константой  $k_2$ ;

3) если  $k_1 = k_2$ , то, как видно из (31), реализуется особый режим, причем процесс протекает медленнее, чем при одностадийной схеме с  $k = k_1 = k_2$  (рис. 4);

4) наконец, при  $k_1 < k_2$  скорость протекания процесса определяется опять второй формулой из (31), но, как и в предыдущем случае, процесс протекает медленнее, чем любой другой, соответствующий одностадийной схеме с  $k = k_1$  или  $k = k_2$  (рис. 5).

Таким образом, в любом случае наличие второй стадии приводит к тому, что скорость процесса уменьшается по сравнению с процессом, протекающим в одну стадию. Исследование (31) позволяет сделать вывод, что функция  $P(t)$  — монотонно убывающая, но в первом и втором режимах при  $k_1/k_2 < \alpha_1 \frac{1 - \alpha_2}{1 - \alpha_1}$  существует точка перегиба кривой  $P(t)$  при

$$t_* = \frac{1}{k_2 - k_1} \ln \left( - \frac{B k_2^2}{A k_1^2} \right), \quad k_1 \neq k_2,$$

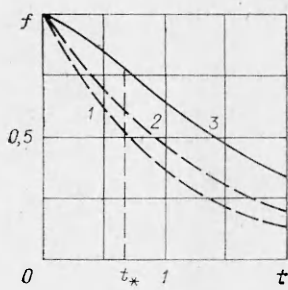


Рис. 4. Третий режим пиролиза при  $k_1 = k_2 = 1$ .  
1 — одностадийная схема; 2, 3 — двухстадийная с  $\alpha_1=0,4$ ,  $\alpha_2=0,5$  и  $\alpha_1=0,8$ ,  $\alpha_2=0,25$  соответственно;  $t^*$  — точка перегиба кривой 3.

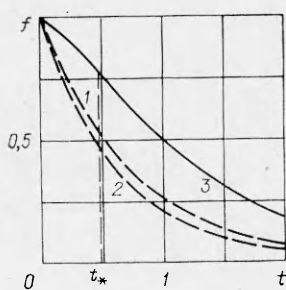


Рис. 5. Четвертый режим пиролиза при  $\alpha_1 = 0,8$ ,  $\alpha_2 = 0,25$ ,  $k_1 = 1,35$ ,  $k_2 = 1,57$ .  
1, 2 — одностадийная схема с константами скорости  $k_1$ ,  $k_2$ ; 3 — двухстадийная;  $t^*$  — точка перегиба кривой 3.

обусловленная тем, что для протекания второй стадии пиролиза (более быстрой) необходимо накопление продукта разложения (пирозоля) первой, более медленной стадии (см. рис. 5). В режиме 3 также существует точка перегиба кривой  $P(t)$  при  $\alpha_1 > \frac{1}{(2 - \alpha_2)}$  в момент времени

$$t^* = \frac{\alpha_1 (2 - \alpha_2) - 1}{\alpha_1 (1 - \alpha_2)^k}.$$

Общую схему поиска термокинетических постоянных в изотермических условиях с использованием метода «теплового» разбавления можно разбить на два этапа.

**Этап 1.** По серии экспериментов, проведенных при различных температурах, определяются  $k_1(T_i)$ ,  $k_2(T_i)$ ,  $\alpha_1$ ,  $\alpha_2$ . При этом следует иметь в виду, что  $\alpha_1$ ,  $\alpha_2$  должны с определенной степенью точности аппроксимироваться постоянными, не зависящими от температуры. Кроме того, необходимо учитывать, что при сколь угодно высокой точности экспериментальных данных в окрестности  $k_1/k_2 = (1 - \alpha_1\alpha_2)/(1 - \alpha_1)$  задача является некорректной (решение не единственно в соответствии с режимом 2).

**Этап 2.** По определенным на первом этапе значениям  $k(T_i)$  находятся предэкспоненты и энергии активации по алгоритму, изложенному для одностадийной кинетической схемы, но с учетом информации о существовании области  $k_1/k_2 \approx (1 - \alpha_1\alpha_2)/(1 - \alpha_1)$ . По предлагаемой схеме для апробации возможности применения методики произведены расчеты прямой и обратной задач. В качестве параметров выбраны  $\alpha_1 = 0,5$ ,  $\alpha_2 = 0,4$ ,  $k_{n1} = 10^6 \exp(-10^4/T)$ ,  $k_{n2} = 10^{12} \exp(-2 \cdot 10^4/T)$  в диапазоне температур  $T \in [650—770 \text{ K}]$ .

Восстановление констант скоростей стадий при фиксированной температуре проводилось на основе метода Прони [13] как наиболее простого. При этом полученная линейная система уравнений решалась «авторегуляризованным» итерационным процессом типа Ньютона — Конторовича [14]. Установлено, что в области температур  $T \in [650—690 \text{ K}]$ , где  $k_1/k_2 > (1 - \alpha_1\alpha_2)/(1 - \alpha_1)$ , величины  $k_1$  и  $k_2$  восстанавливаются с хорошей точностью. При внесении в решение прямой задачи относительной погрешности в 5—7% погрешность восстановленных данных составляла 2—3% ( $k_1$ ,  $k_2$ ).

При  $k_1/k_2$ , близких к  $(1 - \alpha_1\alpha_2)/(1 - \alpha_1)$ , практически невозможно определить  $k_1$ , так как наблюдаемая при этом кинетика эквивалентна пиролизу по одностадийной схеме с  $k = k_2$ . Например, при  $T = 710 \text{ K}$   $k_1/k_2 = 1,3$ , в то время как  $(1 - \alpha_1\alpha_2)/(1 - \alpha_1) = 1,3(3)$ .  $k_1$  и  $k_2$  при такой температуре восстанавливаются с хорошей точностью, только когда относительная погрешность исходных данных менее 0,2%, а с увеличением ее до 2% даже применение регуляризующего алгоритма позволяет

восстановить  $k_2$  с точностью 4%, а  $k_1$  — только 30%. Подобные трудности возникают и при  $k_1 \approx k_2$ , так как в этом случае близок другой «особый» режим 3.

### Оценка погрешности определения термокинетических постоянных

Представляет интерес оценить влияние погрешности экспериментальных данных на погрешность определения  $k_1$ ,  $k_2$  в случае не только относительной погрешности, но также систематической и распределенной случайным образом.

Метод Прони [13] основан на том, что нахождение экспоненциальной аппроксимации эквивалентно отысканию решений однородного дифференциального уравнения с постоянными коэффициентами, поэтому решение основано на нахождении корней характеристического уравнения. Для случая равноотстоящих узлов коэффициенты характеристического уравнения для (31) при  $k_1 \neq k_2$  являются решением системы двух линейных уравнений:

$$\begin{aligned} f_4 + C_1 f_3 + C_2 f_2 &= 0, \\ f_3 + C_1 f_2 + C_2 f_1 &= 0, \end{aligned} \quad (33)$$

где  $f_i = (P - P_r)/(P_n - P_r)$  в момент времени  $t_{n-i} = t_n + (i-1)\Delta t$  и  $\tilde{f}_i = f_i + \varepsilon_i$ ,  $f_i$  — точное значение,  $\tilde{f}_i$  — значение  $f_i$ , заданное с абсолютной погрешностью  $\varepsilon_i$ . Тогда константы скорости стадий  $k_1$  и  $k_2$  определяются по формулам

$$k_1 = \frac{1}{\Delta t} \ln \lambda_1, \quad k_2 = \frac{1}{\Delta t} \ln \lambda_2, \quad (34)$$

где  $\lambda_1$ ,  $\lambda_2$  — корни характеристического уравнения с коэффициентами  $C_1$  и  $C_2$ :

$$\lambda^2 + C_1 \lambda + C_2 = 0. \quad (35)$$

Из (33) — (35) следует, что при задании исходных данных  $f_i$  с погрешностями  $\varepsilon_i$  потеря устойчивости решения может произойти уже на первом этапе решения (33), поэтому приведем оценку погрешностей определения  $C_1$  и  $C_2$ , обозначая их  $\delta_1$ ,  $\delta_2$ . Из (33) находим

$$\begin{aligned} \delta_1 &= \frac{(\varepsilon_3 + C_1 \varepsilon_2 + C_2 \varepsilon_1)(f_2 + \varepsilon_2) - (\varepsilon_4 + C_1 \varepsilon_3 + C_2 \varepsilon_2)(f_1 + \varepsilon_1)}{(f_1 + \varepsilon_1)(f_3 + \varepsilon_3) - (f_2 + \varepsilon_2)^2}, \\ \delta_2 &= \frac{(\varepsilon_4 + C_1 \varepsilon_3 + C_2 \varepsilon_2)(f_2 + \varepsilon_2) - (\varepsilon_3 + C_1 \varepsilon_2 + C_2 \varepsilon_1)(f_3 + \varepsilon_3)}{(f_1 + \varepsilon_1)(f_3 + \varepsilon_3) - (f_2 + \varepsilon_2)^2}. \end{aligned} \quad (36)$$

Если погрешность является систематической, т. е.  $\varepsilon_i = \varepsilon$  ( $i = \overline{1, 4}$ ), то

$$\begin{aligned} \delta_{1C} &= \varepsilon (1 + C_1 + C_2) \frac{f_1 - f_2}{f_1 f_3 - f_2^2 + \varepsilon (f_1 - 2f_2 + f_3)}, \\ \delta_{2C} &= \varepsilon (1 + C_1 + C_2) \frac{f_3 - f_2}{f_1 f_3 - f_2^2 + \varepsilon (f_1 - 2f_2 + f_3)} \end{aligned} \quad (37)$$

и решение становится неустойчивым при

$$\varepsilon_C^* = - \frac{f_1 f_3 - f_2^2}{f_1 - 2f_2 + f_3}. \quad (38)$$

Если погрешность распределена случайным образом, то наименьшее значение  $\varepsilon$ , при котором решение может стать неустойчивым, определится при  $-\varepsilon = \varepsilon_1 = \varepsilon_3 < 0$ ,  $\varepsilon_2 = \varepsilon > 0$  и

$$\varepsilon^* = \frac{f_1 f_3 - f_2^2}{f_1 + 2f_2 + f_3}. \quad (39)$$

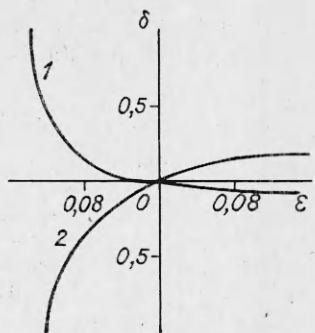


Рис. 6. Погрешность определения  $C_1$ ,  $C_2$  в зависимости от систематической абсолютной погрешности  $\epsilon$ .

Связь погрешностей (36) иллюстрируется графиком на рис. 6, построенным при  $f(10) = 0,87868$ ,  $f(60) = 0,49867$ ,  $f(110) = 0,32612$ ,  $f(160) = 0,24136$  и  $C_1 = -3,531$ ,  $C_2 = 2,705$ . Из анализа кривых рис. 6 следует, что наибольшую погрешность в определение  $C_1$ ,  $C_2$  вносит погрешность, распределенная случайным образом. Кривые 1, 2 соответствуют  $\delta_{1c}(\epsilon)$ ,  $\delta_{2c}(\epsilon)$  и  $\delta_{1c}, \delta_{2c} \rightarrow \pm\infty$  при  $\epsilon_c \rightarrow \epsilon_c^* + 0$ , где  $\epsilon_c^* \approx -0,159$ . Максимальная же ошибка при случайном распределении погрешности исходных данных возможна уже при  $\epsilon^* \approx 0,01$  (величина  $\delta$  выходит за пределы  $\pm 1$  при  $\epsilon \in (-0,005; 0,01)$ ), т. е. потеря устойчивости происходит при значительно меньшей погрешности исходных данных. Это наглядно указывает на необходимость применения сглаживания исходных данных с целью уменьшения случайной погрешности и на необходимость использования регуляризующих алгоритмов.

Из [4] для исследованного полимерного материала можно сделать вывод, что  $E_n^{(2)} > E_n^{(1)}$ , так как пирозоль образовывался при более низких температурах, чем кокс, а в этом случае область надежного восстановления (определения) термоинетических постоянных будет смещена как раз в область сравнительно низких температур, что позволяет находиться на выполнение оценок (10), (11) и одновременно на выполнение условия  $k_1/k_2 > (1 - \alpha_1\alpha_2)/(1 - \alpha_1)$ .

При выполнении второго этапа для нахождения термоинетических постоянных, следуя [6, 7], минимизировалось среднеквадратичное отклонение

$$\delta = \int_{T_H}^{T_K} \left( \Phi_s^i - \ln k_{pi}^0 + \frac{E_n^{(i)}}{RT} \right)^2 dT, \quad i = 1, 2, \quad (40)$$

где  $\Phi_s^i = \ln k_{pi}^0$  ( $k_{pi}^0$  — константа скорости, восстановленная на этапе 1);  $\ln k_{pi}^0$ ,  $E_n^{(i)}/R$  определялись по (14), где

$$I_1 = T_K - T_H, \quad I_2 = \ln T_H/T_K, \quad I_3 = (1/T_H - 1/T_K), \\ I_4 = \int_{T_H}^{T_K} \Phi_s^i dT, \quad I_5 = \int_{T_H}^{T_K} \Phi_s^i / T dT. \quad (41)$$

В отличие от неизотермического в данном случае нет операции дифференцирования, и определение термоинетических постоянных лишено связанных с этим трудностей.

Таким образом, на основе решения прямой и обратной задач предлагается математическая модель пиролиза КПМ. При пиролизе полимерных материалов кинетическая схема одностадийная, второй группы — двухстадийная. На модельных примерах показана возможность использования модели для определения термоинетических постоянных пиролиза по результатам экспериментальных исследований.

Поступила в редакцию 24/VI 1983

#### ЛИТЕРАТУРА

1. Р. М. Асеева, Г. Е. Заикова. Горение полимерных материалов. М.: Наука, 1981.
2. С. Мадорский. Термическое разложение органических полимеров. М.: Мир, 1967.
3. В. И. Димитров. Простая пластина. Новосибирск: Наука, 1982.
4. Г. А. Калиниевич, В. Л. Минов, Т. П. Морозова и др. Изв. ТСХА. Химия и физика, 1981, 2.

5. Y. Tsuchiya, K. Sumi. J. Polymer Sci., A1, 1969, 7, 5.
6. А. М. Гришин. Математическое моделирование некоторых нестационарных аэро-термохимических явлений. Томск, 1973.
7. А. М. Гришин. Математические модели лесных пожаров. Томск, 1981.
8. Г. О. Пилоян. Введение в теорию термического анализа. М.: Наука, 1964.
9. А. М. Гришин. Докл. АН СССР, 1972, 205, 1.
10. Л. Коллатц. Численные методы решения дифференциальных уравнений. М.: ИЛ, 1953.
11. Дж. Алберг, Э. Нильсон, Дж. Уолш. Теория сплайнов и ее приложения. М.: Мир, 1972.
12. А. Г. Мержанов. ФГВ, 1973, 9, 1.
13. Р. В. Хемминг. Численные методы. М.: Наука, 1972.
14. Л. Александров. О решении некорректно поставленных задач построением регуляризованных и автогрегуляризованных итерационных процессов. Препринт ОИЯИ, РБ-5790. Дубна, 1971.

## ОПРЕДЕЛЕНИЕ КИНЕТИЧЕСКИХ ПАРАМЕТРОВ ПО ЗАВИСИМОСТИ СКОРОСТИ БЕЗГАЗОВОГО ГОРЕНИЯ ОТ ТЕМПЕРАТУРЫ

*В. В. Александров, А. А. Давыденко, А. Ф. Еремин,*

*Ю. А. Коваленко, Н. П. Поддубный*

*(Новосибирск)*

Несмотря на большие успехи, достигнутые в исследовании и разработке теории СВС-процессов в частности безгазового горения [1, 2], теоретические расчеты в значительной степени носят качественный характер и не поддаются количественному сравнению с экспериментом из-за отсутствия надежных данных<sup>1</sup> по кинетике химических реакций и теплопереносу в условиях волн горения. Однако развитие теоретических представлений о горении открыло возможность использования самого процесса горения в качестве метода неизотермической кинетики [6].

Стационарное распространение волны безгазового горения в одномерной адиабатической постановке может быть описано системой уравнений

$$\begin{aligned} c\rho u \frac{dT}{dx} &= \lambda \frac{d^2T}{dx^2} + Q\rho W(T, \eta), \\ u \frac{d\eta}{dx} &= W(T, \eta), \\ W(T, \eta) &= \begin{cases} 0, & T < T_M, \quad \eta \geq 1, \\ k\eta^{-n}e^{-m\eta}(1-\eta)^\alpha e^{-\frac{E}{RT}} = k\varphi(\eta)e^{-\frac{E}{RT}}, & T \geq T_M, \quad 0 \leq \eta < 1, \end{cases} \end{aligned} \quad (1)$$

где  $\varphi(\eta)$  — кинетическая функция, в общем случае учитывающая сильное торможение реакции образующимся продуктом [7]. Границные условия для данной системы уравнений имеют вид

$$x = -\infty: \quad T = T_0, \quad \eta = 0,$$

$$x = +\infty: \quad T = T_{ad}, \quad \eta = 1.$$

Один из распространенных способов определения формальных кинетических констант  $E$  и  $k$  сводится к использованию приближенной аналитической зависимости скорости горения  $u$  от совокупности определяющих процесс параметров. Например, для элементарных моделей горения (ЭМГ)

<sup>1</sup> В условиях экстремально высоких скоростей нагрева и градиентов температуры, характерных для волны горения, механизм и кинетика реакций, вообще говоря, могут существенно отличаться [3—5] от того, что наблюдается (с помощью традиционных методов) при низких скоростях.